

# LN<sub>2</sub> 이송용 진공단열 배관의 기체 방출율 측정

최상규, 박두선, 손무룡(대성산소), 김종수(부산 수산대)

## 1. 서론

최근 초저온 장치에서는 단열 효율과 단열 구조의 중량등을 고려하여 진공단열법의 사용이 일반화되고 있다. 이러한 단열 구조에서는 장기간 10<sup>-4</sup> torr대 이하의 고진공으로 유지시키는 것이 필수적이므로, 실제 장치 제작시 매우 긴 진공 배기 공정이 제작 시간 및 비용 면에서 큰 비중을 차지하고 있다. 저온과 진공용 재료로 많이 이용되는 stainless steel의 기체 방출 특성에 대해서는 비교적 많이 연구가 되어 있으나, 저온용 단열재의 기체 방출 특성에 관한 연구는 매우 부족한 실정이다. 따라서 본 연구에서는 NRC-2 단열재를 이용한 LN<sub>2</sub> 이송용 진공다중단열 배관을 제작하여, 단열재의 형상 변화에 따른 기체 방출율을 측정하여 배기 특성을 조사 검토했다.

## 2. 실험 방법

기체 방출율의 측정은 일반적으로 사용되는 throughput 방법<sup>1)</sup>을 이용하였으며, 그림 1에 그 기략도를 나타내었다. 측정용 시험 배관은 내관 40A\*2t, 외관 100A\*3t 길이 1400mm인 국산 상용 SUS304TP-A관을 사용하였고, 시험용 배관은 1) 단열재가 없는 것, 2) 폭 1400mm의 NRC-2를 10층 감은 것 그리고 3) 폭 300mm의 단열재를 나선형으로 10층 감은 것의 3개를 사용하였으며, 실제 LN<sub>2</sub> 이송용 배관에 사용하는 seal-off valve(Cryolab사의 SV-8)를 부착하고, 용기측 진공계에는 고진공용 OFHC Cu gasket을 사용하였다. 또한 측정에 사용한 orifice는 시험용기 1)은 직경 6mm, 시험용기 2), 3)은 직경 10mm의 것을 제작 사용하였고, 이 orifice의 conductance는 다음의 식으로 구하였다.

$$C = 3.64(T/M)^{0.5} A \quad (\text{lit/sec}) \quad \text{---(1)}$$

측정에 사용한 배기계는 LN<sub>2</sub> trap, 주진공펌프(550(l/sec) oil diffusion pump), 보조 진공펌프(350(l/min) rotary vane pump)로 구성하였다. 진공계는 Granville-Phillips사의 Ion gauge head(model GP-2ARY)와 controller를 사용하였으며, 이때 gauge의 방사 전류(emission current)는 10mA로 하였다.

용기의 세척은 실제 장치 제작 과정에 준하여 수세, 산세(巨星化學社의 LD-101 용액에 30분간 침적), 수세의 순서로 실시하고, 세척 검사는 ASTM-A310에 준하였으며, 이 모든 과정은 상온에서 실시하였다.

실험은 각 시험 용기에 대해서 baking을 하지 않는 상태와, 배기중 baking을 시킨 경우(내관은 120°C air blow, 외관은 heating tape로 120°C를 유지)에 대해 실시하였으며, 기체 방출율이 10<sup>-10</sup> torrl/cm<sup>2</sup>에 도달하는 시간도 동시에 측정하여 단열재의 형상 변화에 따른 배기 특성을 서로 비교하였다. 측정이 끝난 시험용기는 24시간 이상 대기 방치시킨 후 다시 측정을 하였다.

## 3. 결과 및 고찰

기체 방출율은 지수 함수적으로 감소하는 것이 확인되었으며, 단열재의 유무에 따라 기울기가 크게 변하는 것을 확인할 수 있었다. 단열재가 없는 경우의 기체 방출율 곡선은 그림2에 나타내었으며, 21시간 배기 후의 기체 방출율은 5.745\*10<sup>-10</sup> torrl/cm<sup>2</sup> 이었다. 또한 단열재의 폭을 줄여서 나선형으로 설치하는 것 이 충분히 기체 conductance를 증가시켜 보다 효율적인 진공 배기가 가능하다는 것을 확인하였다.

진공 배기중 baking을 실시하는 것이 요구 기체 방출율의 도달 시간에 어떠한 영향을 미치는가에 대해서도 검토했으며, 이들의 결과는 직접 눈의 할 예정이나.

#### 4. 참고 문헌

- (1) R. J. Elscy, Vacuum, vol.25, p.299, p.347 (1975)
- (2) A. Roth, Vacuum Technology, North-Holland Pub. (1976)
- (3) 谷田和雄, 真空システム工学, 義賢堂 (1977)
- (4) J. Santanam, P. Vijendran, Vacuum, vol.32, p.487 (1982)
- (5) Makoto Hikita et al, Trans IECE of Japan, vol.E63, p.64 (1980)
- (6) 유선일 외, 韓國真空學會誌, vol.1, p.1 (1992)

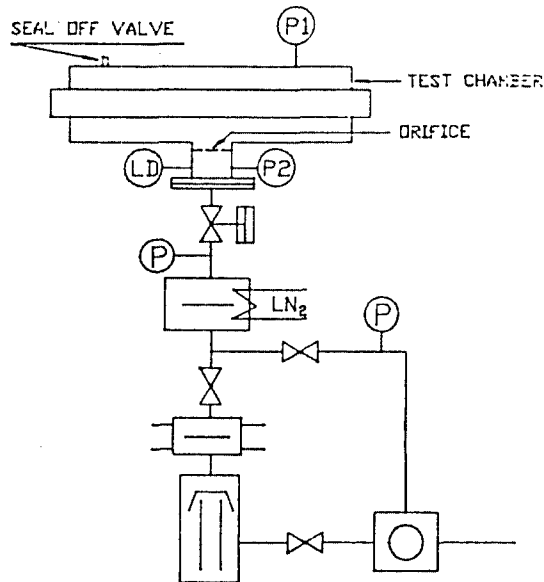


Fig.1 Schematic diagram of experimental set-up.  
P1=Baron gauge, P2=Trant gauge, LD=Hite leak detector

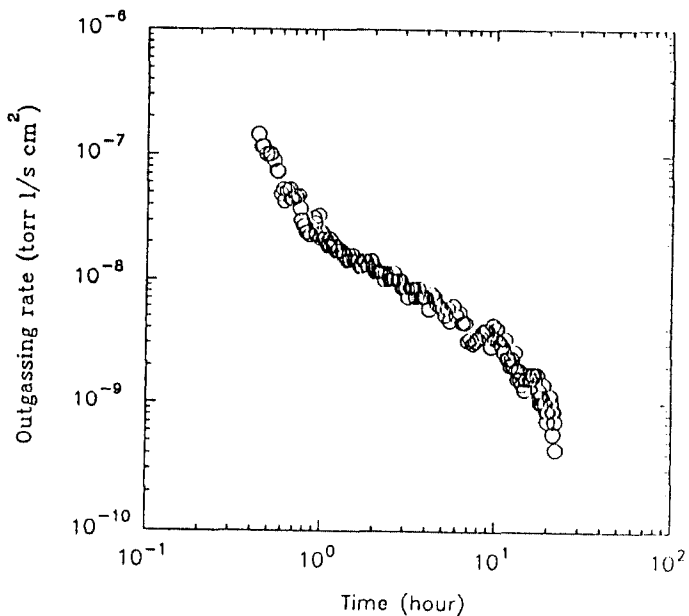


Fig.2 Outgassing rate of test chamber 1